

УДК 517.988

А.С. Миненко

Государственный университет информатики и искусственного интеллекта,
г. Донецк, Украина
minenko@iai.donetsk.ua

Исследование стационарной конвективной математической модели кристаллизации вещества

Исследуется стационарная задача Стефана с учётом конвективного движения в жидкой фазе на плоскости. Получено уравнение свободной границы в зависимости от интенсивности вихря. Строится приближенное решение задачи.

Постановка задачи

Математическое моделирование теплофизических процессов в спецметаллургии оперирует такими усредненными величинами, как понятие сплошной среды, её плотность, теплоемкость, температуро- и теплопроводность, вязкость и др., и, опираясь на законы переноса массы, импульса и энергии, составляют основные дифференциальные уравнения для определения других усредненных характеристик – векторного поля скоростей, температурного поля и др. Все теплофизические параметры среды в той или иной степени зависят от температуры, а законы, управляющие этими зависимостями, носят экспериментально-эмпирический характер и до настоящего времени весьма неполны, особенно в области высоких температур, поэтому поневоле приходится рассматривать линейное приближение, применимое в случае малых перепадов температуры, когда зависимостью упомянутых параметров от термодинамического состояния можно пренебречь. Адекватность математической модели физическому явлению возрастает вместе с уточнением упомянутых зависимостей, вследствие чего еще большее значение приобретают соответствующие эксперименты общепознавательного характера. Линеаризованная теория задач массо- и теплопереноса оперирует также с известным количеством безразмерных параметров изучаемого явления, таких, как числа Рейнольдса, Пекле, Нуссельта, Прандтля и др., и значение этих параметров для возможно большего диапазона материалов и режимов тоже приобретает повышенное значение.

Теплофизические процессы в кристаллизаторе, сопровождающиеся фазовыми переходами вещества, описываются математической моделью, в которой температура каждой из фаз удовлетворяет уравнению переноса тепла со своими теплофизическими коэффициентами. На границе раздела фаз обе температуры постоянны и равны температуре фазового перехода (для химической однородной среды), а на заданных частях границы, – стенках кристаллизатора, поддоне, – поддерживается определенный режим (теплоотвод, теплоизоляция и др.). Поверхность раздела фаз (фронт кристаллизации) является неизвестной, или «свободной» границей, и для ее определения дополнительно задается «условие Стефана», означающее, что тепловой поток через фронт

кристаллизации в сторону твердой фазы равен тепловому потоку со стороны жидкой фазы плюс скрытая теплота фазового перехода. Жидкая фаза рассматриваемого процесса заслуживает специального исследования из-за априорной возможности существования поля скоростей, вызывающего интенсивную теплопередачу путем конвекции. Усиленная циркуляция в расплавленной шлаковой ванночке была обнаружена в исследованиях академика Б.Е. Патона и его сотрудников [1].

Основной целью настоящей статьи является изучение гидродинамических явлений в жидкой фазе, поскольку здесь экспериментальные исследования, насколько известно, отсутствуют.

Изучается стационарный случай в полосе $D = \{-1 < x < 1 \quad H < y < 0\}$. Обозначим через γ кривую, отделяющую жидкую фазу D_γ^+ от твердой D_γ^- , при этом концы γ лежат на вертикалях $x = \pm 1$. Обе области D_γ^- и D_γ^+ предполагаются односвязными и симметричными относительно оси y . Пусть $\psi(x, y)$ – функция тока, удовлетворяющая условиям: $\Delta\psi = \mu$, $(x, y) \in D_\gamma^+$, $\mu = \text{const} > 0$, $\psi = 0$, $(x, y) \in \partial D_\gamma^+$. Здесь μ считается достаточно малым численным параметром. Требуется определить, кроме функции тока $\psi(x, y)$, тройку $(u^\pm(x, y), \gamma)$ по следующим условиям:

$$\begin{aligned} \lambda_+ \Delta u^+ - \psi_y u_x^+ + \psi_x u_y^+ &= 0, (x, y) \in D_\gamma^+, \lambda_+ = \text{const} > 0; \\ u^+(x, 0) &= \nu, -1 \leq x \leq 1, \nu = \text{const} > 1; \\ u_x^\pm \pm \omega_0^+ u^\pm &= 0, x = \pm 1, (x, y) \in \partial D_\gamma^+; \end{aligned} \quad (1)$$

$$\Delta u^- = 0, (x, y) \in D_\gamma^-; u^-(x, H) = 0, -1 \leq x \leq 1, u^-(x, y) = u^+(x, y) = 1,$$

$$\left| \nabla u^- \right|^2 - \kappa^2 \left| \nabla u^+ \right|^2 = 0, (x, y) \in \gamma,$$

здесь $\kappa = \text{const}$, $0 < \kappa \leq 1$; ω_0^\pm – числа Нусельта.

Приближенное решение задачи

Предложен метод изучения нелинейной задачи (1), состоящий в разложении решения в ряд по степеням малого параметра μ [2]:

$$\begin{aligned} \psi(x, y; \mu) &= \sum_{\kappa=0}^{\infty} \mu^\kappa \psi_\kappa(x, y), \quad u^+(x, y; \mu) = \sum_{\kappa=0}^{\infty} \mu^\kappa u_\kappa^+(x, y); \\ y(x, \mu) &= \sum_{\kappa=0}^{\infty} \mu^\kappa y_\kappa(x), \quad \gamma : y = y(x, \mu), \quad -1 \leq x \leq 1. \end{aligned}$$

Нулевое приближение $u_0(x, y)$ ищем как минимум функционала

$$\begin{aligned} I(u^+, u^-, \gamma_0) &= \iint_{D_{\gamma_0}^-} [u_x^{-2} + u_y^{-2}] dx dy + \kappa^2 \iint_{D_{\gamma_0}^+} [u_x^{+2} + u_y^{+2}] dx dy + \\ &+ \kappa^2 \omega_0^+ \int_{\Gamma_{\gamma_0}^+} [u^{+2} - 1] dy + \omega_0^- \int_{\Gamma_{\gamma_0}^-} [u^{-2} - 1] dy, \end{aligned} \quad (2)$$

на соответствующем множестве допустимых функций, здесь $\Gamma_\gamma^+ = \partial D_\gamma^+ \cap \{x = \pm 1\}$, $\Gamma_\gamma^- = \partial D_\gamma^- \cap \{x = \pm 1\}$. Функционал (2) в классе функций $u_y^\pm > 0$ в D_γ^\pm представим следующим образом:

$$I_1(y_1, y_2) = \iint_{\Delta_1} \frac{1+y_{1x}^2}{y_{1u}} dxdu + \kappa^2 \iint_{\Delta_2} \frac{1+y_{2x}^2}{y_{2u}} dxdu + \omega_0^+ \kappa^2 \int_1^v (u^2-1)[y_{2u}(1,u) + y_{2u}(-1,u)] du + \omega_0^- \int_0^1 (u^2-1)[y_{1u}(1,u) + y_{1u}(-1,u)] du,$$

где $\Delta_1 = (-1 < x < 1, 0 < u < 1)$, $\Delta_2 = (-1 < x < 1, 1 < u < v)$, $y_1(x, u)$ и $y_2(x, u)$ – решения уравнений $u_1(x, y) - u_1 = 0$, $u_2(x, y) - u_2 = 0$.

Будем минимизировать функционал $I_1(y_1, y_2)$ при помощи сумм

$$y_{1n}(x, u) = \sum_{j=0}^L \sum_{\kappa=1}^{T_j} a_{\kappa j} x^{2j} u^\kappa + H, (x, u) \in \bar{\Delta}_1; y_{2n}(x, u) = \frac{v-u}{v-1} \sum_{j=0}^L \sum_{\kappa=0}^{\Theta_j} b_{\kappa j} x^{2j} u^\kappa, (x, u) \in \bar{\Delta}_2,$$

применяя при этом метод Ритца [3]:

$$\left\{ \begin{array}{l} \frac{\partial I_2(a_{\kappa j}, b_{\kappa j})}{\partial a_{pq}} + \lambda_q = 0, p=1, 2, \dots, T_q; q=0, 1, \dots, L, \\ \frac{\partial I_2(a_{\kappa j}, b_{\kappa j})}{\partial b_{st}} - \lambda_t = 0, s=0, 1, \dots, \Theta_t; t=0, 1, \dots, L, \\ \sum_{\kappa=1}^{T_0} a_{\kappa 0} - \sum_{\kappa=0}^{\Theta_0} b_{\kappa 0} + H = 0, \sum_{\kappa=1}^{T_j} a_{\kappa j} - \sum_{\kappa=0}^{\Theta_j} b_{\kappa j} = 0, j=1, 2, \dots, L, \\ I_2(a_{\kappa j}, b_{\kappa j}) = I_1 \left(\sum_{j=0}^L \sum_{\kappa=1}^{T_j} a_{\kappa j} x^{2j} u^\kappa + H; \frac{v-u}{v-1} \sum_{j=0}^L \sum_{\kappa=0}^{\Theta_j} b_{\kappa j} x^{2j} u^\kappa \right). \end{array} \right. \quad (3)$$

Лемма. Пусть система Ритца (3) имеет решение при некоторых значениях параметров $\omega_0^+ = \tilde{\omega}_0^+$, $\omega_0^- = \tilde{\omega}_0^-$, $\kappa = \tilde{\kappa}$. Тогда решения этой системы $a_{\kappa j}(\omega^+, \omega_0^-, \kappa)$, $b_{\kappa j}(\omega_0^+, \omega_0^-, \kappa)$ непрерывно зависят от параметров $\omega_0^+, \omega_0^-, \kappa$ в некоторой окрестности точки $(\tilde{\omega}_0^+, \tilde{\omega}_0^-, \tilde{\kappa})$.

Проблема сходимости приближенных решений исследована в [3], [4].

Теорема. Пусть μ достаточно малая величина. Тогда справедлива формула:

$$\gamma: y(x, \mu) = y_0(x) - \mu \frac{u_1(x, y)}{u_{0y}(x, y)} + O(\mu), (x, y) \in \gamma_0, \quad (4)$$

где $y_0(x)$ – решение уравнения $u_0(x, y) - 1 = 0$ в классе функций $u_{0y}(x, y) > 0$ в D ; $u_1(x, y)$ – решение краевой задачи:

$$\begin{aligned} \Delta u &= f(x, y), (x, y) \in D; u(x, 0) = 0, u(x, H) = 0, 0 \leq x \leq 1; \\ u_x(0, y) &= 0, H \leq y \leq 0; u_x \pm \omega_0^\pm u = 0; x = 1, (x, y) \in \partial D_\gamma^\pm \setminus \gamma; \\ f(x, y) &= \psi_{1y} u_{0x} - \psi_{1x} u_{0y} \text{ при } (x, y) \in D_{\gamma_0}^+ \text{ и } f(x, y) = 0 \text{ при } (x, y) \in D_{\gamma_0}^-. \end{aligned}$$

Приближенный анализ влияния конвекции на фронт кристаллизации

Численный анализ осуществлялся на основании формулы (4). В качестве функции $u_0(x, y)$ берется решение проблемы минимума функционала (2), которое может быть построено методом Фурье при $k=1, \omega_0^+ = \omega_0^- = \omega_0$. Функции $\psi_1(x, y)$ и $u_1(x, y)$ находятся из условий минимума функционалов

$$I_1(\psi) = \iint_D (\psi_x^2 + \psi_y^2 + 2\psi) dx dy, \quad I_2(u) = \iint_D (u_x^2 + u_y^2 + 2fu) dx dy + \omega_0 \int_H^0 u^2(1, y) dy,$$

на множествах

$$T_1 = \{ \psi : \psi \in C^1(\bar{D}), \psi = 0, (x, y) \in \partial D_{\gamma_0}^+ \}, \quad T_2 = \{ u : u \in C^1(\bar{D}), u(x, 0) = 0, u(x, H) = 0 \}.$$

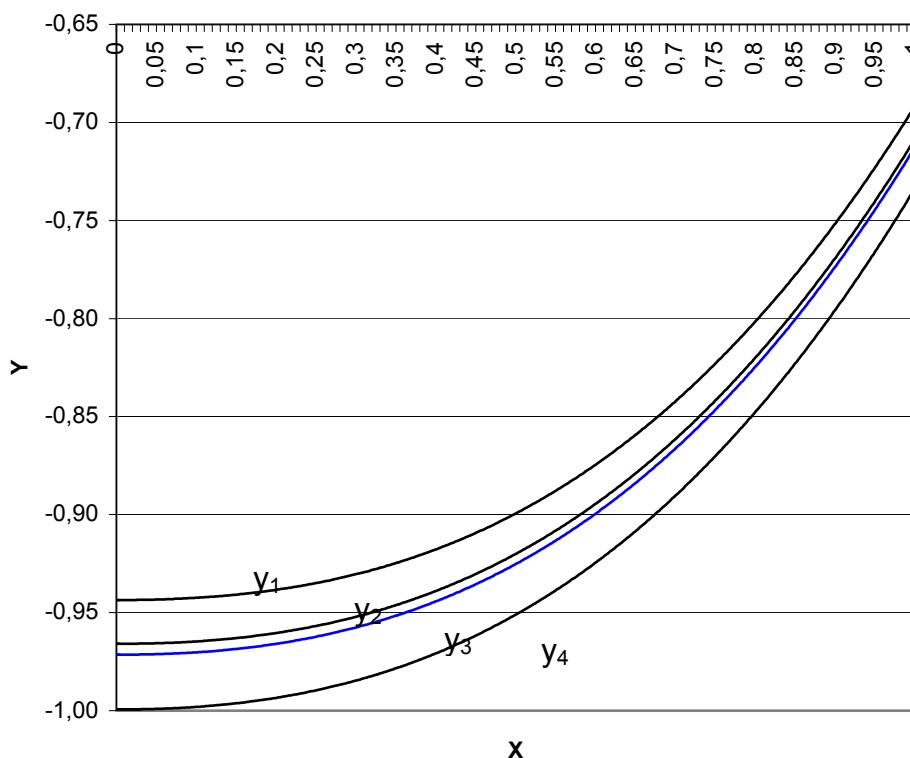


Рисунок 1 – Линии кристаллизации

Проблема минимума эффективно решается при помощи метода Ритца. При этом приближения Ритца ψ_n и u_n строятся следующим образом:

$$\psi_n = y(y-H)(y-y_0(x))(x-1) \sum_{k=0}^m \sum_{j=1}^{m_k} c_{kj} x^{2j} y^k,$$

$$u_n = y(y-H) \sum_{k=0}^m \sum_{j=1}^{m_k} a_{kj} x^{2j} y^k, \quad n = \sup_{0 \leq k \leq m} (m + 2m_k),$$

где $y_0(x)$ – решение уравнения $u_0(x, y) - 1 = 0$, $(x, y) \in D$ в классе функций $u_{0y}(x, y) > 0$ в D . Сходимость приближенных решений к точным решениям, соответствующих краевых задач, изучена в [5]. Неизвестные коэффициенты a_{kj} и c_{kj} определяются из условий минимума функций $I_1(\psi_n) = \tilde{I}_1(c_{kj})$, $I_2(u_n) = \tilde{I}_2(a_{kj})$.

Численный эксперимент осуществлялся при определенных значениях теплофизических значений параметров. На рис. 1 изображен график линий кристаллизации $y(x, \mu)$ при различных значениях μ , соответственно при $\mu = -0,5; 0; 0,1; 0,5$. Кривые $y(x, \mu)$ строились в виде многочленов

$$y(x, \mu) = \alpha_3(\mu)x^3 + \alpha_2(\mu)x^2 + \alpha_1(\mu)x + \alpha_0(\mu).$$

Вычисления производились при $H = -10$, $v = 1,25$, $\omega_0 = 3,5$, при этом $y_1 = y(x, 0,5)$; $y_2 = y(x, 0,1)$; $y_4 = y(x, -0,5)$ и $y_3 = y_0(x)$.

Продоланный численный эксперимент подтверждает влияние конвективного теплообмена на процесс кристаллизации. Эксперимент сохранит свой смысл, если параметры ω_0^+ и ω_0^- брать в некоторой малой окрестности чисел $\omega_0 = 3,5$, а $k = 1$.

Литература

1. Патон Б.Е. Избранные труды / Патон Б.Е. – Киев : ТР. ИЭС им. Е.О. Патона НАН Украины, 2008. – 893 с.
2. Миненко А.С. Вариационные задачи со свободной границей / Миненко А.С. – Киев : Наукова думка, 2005. – 341 с.
3. Миненко А.С. Исследование одной конвективной задачи Стефана методом Ритца / А.С. Миненко // Укр. мат. журнал. – 2007. – 59, № 11. – С. 1546-1556.
4. Миненко А.С. О минимизации одного интегрального функционала методом Ритца / А.С. Миненко // Укр. мат. журнал. – 2006. – 58, № 10. – С. 1385-1394.
5. Харик И.Ю. О проблеме аппроксимации функций, связанной с исследованием сходимости вариационных процессов / И.Ю. Харик // Докл. АН СССР. – 1951. – 81, № 2. – С. 157-160.

О.С. Миненко

Дослідження стаціонарної конвективної математичної моделі кристалізації речовини

Досліджується стаціонарна задача Стефана з урахуванням конвективних рухів у рідинній фазі на площині. Доведено рівняння вільної границі в залежності від інтенсивності вихору. Побудовано наближене рішення задачі.

A.S. Minenko

Research of Stationary Mathematical Model of Crystallization of Substance with Convection

Two-dimensional stationary convection Stefan problem in liquid phase is investigated. Formula of free boundary equation is obtained. The approximation solution is build.

Статья поступила в редакцию 25.01.2010.